

Расчёт движения осесимметричного твёрдого тела в жидкости Бингама*

Ю. В. ПИВОВАРОВ

Институт гидродинамики СО РАН, Новосибирск, Россия

e-mail: pivov@hydro.nsc.ru

Описывается метод расчёта движения осесимметричного твёрдого тела в жидкости Бингама под действием силы тяжести. Двумерная область течения конформно отображается на прямоугольник. Модель жидкости Бингама регуляризуется и сводится таким образом к описанию движения неньютоновской жидкости, у которой вязкость определённым образом зависит от второго инварианта тензора скоростей деформаций. Приводится пример расчёта для эллиптической формы тела.

Ключевые слова: регуляризация, неньютоновская жидкость, уравнения Навье — Стокса, вихрь, функция тока.

Введение

Рассматривается нестационарное движение осесимметричного твёрдого тела в жидкости Бингама (матрице) вдоль оси симметрии под действием силы тяжести. Возникающее течение в матрице также предполагается осесимметричным. Хорошо известен тот факт, что вне некоторой поверхности вокруг рассматриваемого тела поле скоростей в матрице будет тождественно равно нулю. Поэтому можно рассматривать движение жидкости внутри такой поверхности, например, шара достаточно большого радиуса, эллипсоида и т. д. В цилиндрических координатах r , z , φ , связанных с телом, где r — полярный радиус, φ — полярный угол, от которого искомые функции не зависят, ось z направлена вдоль оси симметрии, можно решать задачу в полуплоскости $r \geq 0$, $\varphi = \text{const}$. Тогда двумерная область в координатах r , z между охватывающей тело поверхностью, вне которой жидкость покоится, и границей тела будет криволинейным четырёхугольником. Известно, что криволинейный четырёхугольник можно единственным образом конформно отобразить на прямоугольник с заранее неизвестным отношением сторон. В некоторых частных случаях это удаётся сделать аналитически, а в общем случае есть численный алгоритм, основанный на минимизации некоторого функционала [1, 2]. Итак, пусть данное отображение построено. Далее модель жидкости Бингама регуляризуется так же, как в работе [3], где доказано, что при параметре регуляризации δ , стремящемся к нулю, решение регуляризованной задачи сходится к решению исходной задачи для жидкости Бингама. В сущности регуляризованная модель сводится к описанию движения неньютоновской жидкости, у которой вязкость определённым образом зависит от второго инварианта тензора скоростей деформаций. Решение данной задачи

*Работа выполнена при поддержке программы ОЭММПУ РАН (проект № 2.13.2) и РФФИ (грант № 12-01-00149-а).

строится методом, описанным в [4]. Для простоты рассматривается случай, когда нелинейные конвективные члены малы и их можно брать с нижнего итерационного слоя. Задача решается в переменных вихрь — функция тока. Используемая разностная схема является монотонной при достаточно малом шаге по времени и консервативной.

В качестве примера приведено решение задачи о движении эллипсоида. Показано, что при заданном объёме эллипсоида зависимость скорости стационарного обтекания от отношения поперечной и продольной полуосей, характеризуемая параметром $b < 1$, имеет немонотонный характер.

1. Размерные параметры задачи

Пусть ν_0 — кинематическая вязкость материала матрицы, $\text{м}^2/\text{с}$, k_0 — ее предел текучести, Па, r_{00} — радиус шара, имеющего такой же объем, что и рассматриваемое тело, м, $g = 9.81 \text{ м/с}^2$ — ускорение свободного падения, ρ_1 — плотность тела, кг/м^3 , ρ_0 — плотность материала матрицы. Характерную скорость определим по формуле Стокса [5]

$$V_0 = \frac{2}{9} \frac{gr_{00}^2(\rho_1 - \rho_0)}{\nu_0\rho_0},$$

а характерное время — по формуле

$$t_0 = r_{00}^2/\nu_0.$$

В качестве характерной вязкости примем вязкость, определяемую пределом текучести материала матрицы:

$$\nu_1 = k_0r_{00}/(\rho_0V_0),$$

а в качестве характерного напряжения — величину k_0 . Тогда характерная сила определяется как интеграл по поверхности сферы от касательного напряжения, равного k_0 :

$$G_0 = \pi^2r_{00}^2k_0.$$

2. Безразмерные критерии подобия

После процедуры обезразмеривания уравнений движения твёрдого тела в жидкости Бингама в задаче появятся следующие критерии подобия:

$$\text{Re} = \frac{V_0r_{00}}{\nu_1}, \quad A_1 = \frac{3\pi k_0t_0}{4\rho_1r_{00}V_0}, \quad A_2 = \frac{(\rho_1 - \rho_0)t_0g}{\rho_1V_0}, \quad A_0 = \frac{A_2}{A_1}, \quad B = \frac{V_0t_0}{r_{00}}, \quad \alpha = \frac{\nu_0}{\nu_1}.$$

Здесь Re — число Рейнольдса, A_1 — отношение характерной силы к произведению массы тела на его ускорение, A_2 — отношение разности силы тяжести и силы плавучести к произведению массы тела на его ускорение, A_0 — отношение разности силы тяжести и силы плавучести к характерной силе, определяемой пределом текучести материала матрицы, B — кинематический параметр, α — обратное число Бингама [6].

3. Постановка задачи

Пусть r, z, φ — система координат, о которой говорилось во введении. Форма тела описывается параметрически:

$$r = r_1(x), \quad z = z_1(x), \quad x \in [0, X]. \quad (1)$$

Внешняя граница области течения также определяется параметрически:

$$r = r_2(x), \quad z = z_2(x), \quad x \in [0, X]. \quad (2)$$

Заметим, что поскольку система координат r, z, φ движется вместе с телом, то в формулах (1), (2) нет зависимости от времени.

Функции

$$r = r_3(x, y), \quad z = z_3(x, y), \quad x \in [0, X], \quad y \in [0, Y]$$

конформно отображают прямоугольник $0 \leq x \leq X, 0 \leq y \leq Y$ на область между границами (1) и (2) так, что

$$r_3(x, 0) = r_1(x), \quad z_3(x, 0) = z_1(x), \quad r_3(x, Y) = r_2(x), \quad z_3(x, Y) = z_2(x), \quad x \in [0, X],$$

$$r_3(0, y) = 0, \quad r_3(X, y) = 0, \quad y \in [0, Y].$$

Функция безразмерной вязкости регуляризованной модели жидкости Бингама имеет вид [3]

$$\nu(|D|) = \begin{cases} \alpha + 1/(\sqrt{2}|D|) & \text{при } |D| > 3\delta/2, \\ f(|D|) & \text{при } \delta/2 \leq |D| \leq 3\delta/2, \\ \alpha + 1/(\sqrt{2}\delta) & \text{при } |D| < \delta/2. \end{cases} \quad (3)$$

Здесь $|D|^2$ — второй инвариант тензора скоростей деформаций, δ — параметр регуляризации (малое число),

$$f(|D|) = \alpha + 1/(\sqrt{2}\delta) - 17\sqrt{2}(|D| - \delta/2)^3/(27\delta^4) + \\ + 35\sqrt{2}(|D| - \delta/2)^4/(54\delta^5) - 5\sqrt{2}(|D| - \delta/2)^5/(27\delta^6) -$$

полином пятой степени, осуществляющий склейку значений функции $\nu(|D|)$, ее первых и вторых производных в точках $|D| = \delta/2$ и $|D| = 3\delta/2$.

Граница жидкой зоны определяется соотношением

$$|D| = \delta/2.$$

Область, в которой $|D| > \delta/2$, считается жидкой, а область, где $|D| \leq \delta/2$ — твёрдой. Внешняя граница области течения, описываемая формулами (2), выбирается так, чтобы жидкая зона целиком находилась между границами (1) и (2).

Пусть u, v — компоненты вектора скорости элементов матрицы по направлениям x, y . Введём функцию тока Ψ и завихренность ω по формулам

$$u = \frac{1}{rH} \frac{\partial \Psi}{\partial y}, \quad v = -\frac{1}{rH} \frac{\partial \Psi}{\partial x}, \quad \omega = \frac{1}{H^2} \left(\frac{\partial(uH)}{\partial y} - \frac{\partial(vH)}{\partial x} \right),$$

где $H = \sqrt{(\partial r/\partial x)^2 + (\partial r/\partial y)^2}$ — коэффициент Ламэ.

Система уравнений для Ψ , ω имеет вид [4]

$$\frac{\partial \omega}{\partial t} - \frac{1}{H^2} \left[\frac{\partial}{\partial x} \left(\frac{1}{r} \frac{\partial}{\partial x} (r\nu\omega) \right) + \frac{\partial}{\partial y} \left(\frac{1}{r} \frac{\partial}{\partial y} (r\nu\omega) \right) \right] = G, \quad (4)$$

$$\frac{\partial}{\partial x} \left(\frac{1}{r} \frac{\partial \Psi}{\partial x} \right) + \frac{\partial}{\partial y} \left(\frac{1}{r} \frac{\partial \Psi}{\partial y} \right) = H^2 \omega, \quad (5)$$

где t — переменная времени,

$$\begin{aligned} G = & \frac{2}{H^2} \left[\frac{\partial}{\partial x} \left(\frac{\partial \nu}{\partial x} \left(-\frac{1}{H} \frac{\partial}{\partial y} \left(\frac{1}{rH} \frac{\partial \Psi}{\partial y} \right) - \frac{1}{rH^3} \frac{\partial H}{\partial x} \frac{\partial \Psi}{\partial x} \right) - \right. \\ & \left. - \frac{\partial \nu}{\partial y} \left(-\frac{1}{H} \frac{\partial}{\partial y} \left(\frac{1}{rH} \frac{\partial \Psi}{\partial x} \right) + \frac{1}{rH^3} \frac{\partial H}{\partial x} \frac{\partial \Psi}{\partial y} \right) \right) + \\ & + \frac{\partial}{\partial y} \left(\frac{\partial \nu}{\partial x} \left(\frac{1}{H} \frac{\partial}{\partial x} \left(\frac{1}{rH} \frac{\partial \Psi}{\partial y} \right) - \frac{1}{rH^3} \frac{\partial H}{\partial y} \frac{\partial \Psi}{\partial x} \right) - \right. \\ & \left. - \frac{\partial \nu}{\partial y} \left(\frac{1}{H} \frac{\partial}{\partial x} \left(\frac{1}{rH} \frac{\partial \Psi}{\partial x} \right) + \frac{1}{rH^3} \frac{\partial H}{\partial y} \frac{\partial \Psi}{\partial y} \right) \right) - \\ & \left. - \frac{\text{Re}}{2} \left(\frac{\partial}{\partial x} \left(\frac{\partial \Psi}{\partial y} \omega \right) - \frac{\partial}{\partial y} \left(\frac{\partial \Psi}{\partial x} \omega \right) \right) \right]. \end{aligned}$$

Граничные условия системы следующие:

$$\begin{aligned} \Psi = 0, \quad \partial \Psi / \partial y = 0 \quad \text{при} \quad y = 0, \\ \Psi = 0, \quad \omega = 0 \quad \text{при} \quad x = 0 \quad \text{и} \quad x = X, \\ \Psi = -V(t)r^2/2, \quad \omega = 0 \quad \text{при} \quad y = Y. \end{aligned} \quad (7)$$

Здесь первые два — условия прилипания на границе тела, следующие два — условия симметрии на отрезках симметрии, последние два — условия твёрдотельного движения на внешней границе области течения. Начальные условия имеют вид

$$\Psi = 0, \quad \omega = 0 \quad V(t) = 0, \quad \text{при} \quad t = 0. \quad (8)$$

Нормальные и касательные напряжения на границе тела, обусловленные гидродинамическим течением вокруг него, определяются как

$$P_{yy} = -p, \quad P_{xy} = \alpha\omega + \text{sign}(\omega), \quad (9)$$

где p — гидродинамическое давление:

$$p = \int_0^x \frac{1}{r} \frac{\partial (r\nu\omega)}{\partial y} dx. \quad (10)$$

Составляющие силы, обусловленные нормальными и касательными напряжениями в гидродинамическом течении вокруг тела,

$$G_{z1} = -\frac{2}{\pi} \int_0^x P_{yy} \frac{dr_1}{dx} r_1(x) dx, \quad G_{z2} = \frac{2}{\pi} \int_0^x P_{xy} \frac{dz_1}{dx} r_1(x) dx, \quad (11)$$

где функции $r_1(x)$, $z_1(x)$ определены формулами (1). Суммарная сила, действующая на тело, вычисляется по формуле

$$G'_z = G_{z1} + G_{z2} + A_0. \quad (12)$$

Скорость тела определяется как

$$V(t) = A_1 \int_0^t (G_{z1}(\tilde{t}) + G_{z2}(\tilde{t})) d\tilde{t} + A_2 t, \quad (13)$$

а расстояние, пройденное телом, как

$$z_1(t) = B \int_0^t V(\tilde{t}) d\tilde{t}. \quad (14)$$

Итак, ставится задача о решении системы уравнений (4), (5) с граничными условиями (7) и начальными условиями (8), где скорость тела $V(t)$ определяется по формулам (9) — (13), а расстояние, пройденное телом, — по формуле (14).

4. Метод решения задачи

Уравнение (4) можно записать в виде

$$\left(\frac{\partial}{\partial t} + L_1 + L_2 \right) \omega = G, \quad (15)$$

где

$$L_1 \omega = -\frac{1}{H^2} \frac{\partial}{\partial x} \left(\frac{1}{r} \frac{\partial}{\partial x} (r\nu\omega) \right), \quad L_2 \omega = -\frac{1}{H^2} \frac{\partial}{\partial y} \left(\frac{1}{r} \frac{\partial}{\partial y} (r\nu\omega) \right).$$

Пусть задана неравномерная сетка

$$0 = x_0 < x_1 < \dots < x_{N-1} < x_N = X, \quad 0 = y_0 < y_1 < \dots < y_{M-1} < y_M = Y.$$

Введём обозначения:

$$\begin{aligned} x_{n-1/2} &= (x_{n-1} + x_n)/2, & h_{xn-1/2} &= x_n - x_{n-1}, & n &= \overline{1, N}, \\ y_{m-1/2} &= (y_{m-1} + y_m)/2, & h_{ym-1/2} &= y_m - y_{m-1}, & m &= \overline{1, M}, \\ \bar{h}_{xn} &= (x_{n+1} - x_{n-1})/2, & n &= \overline{1, N-1}, \\ \bar{h}_{ym} &= (y_{m+1} - y_{m-1})/2, & m &= \overline{1, M-1}. \end{aligned}$$

Будем считать, что

$$h_{xn+1/2} - h_{xn-1/2} = O(h_{xn+1/2}^2), \quad h_{ym+1/2} - h_{ym-1/2} = O(h_{ym+1/2}^2).$$

Введём также равномерную сетку на полуоси $t \geq 0$ с шагом τ . Примем для любой функции $f(x, y, t)$ обозначение

$$f(x_n, y_m, k\tau) = f_{nm}^k,$$

причем индексы n , m могут быть дробными либо отсутствовать, если f не зависит от x , y или эти индексы несущественны, а индекс k может отсутствовать, если f не зависит от t или этот индекс несуществен.

Аппроксимируем дифференциальные операторы L_1 , L_2 разностными операторами Λ_1 , Λ_2 следующим образом:

$$\begin{aligned}\Lambda_1\omega_{nm} &= -\frac{1}{H_{nm}^2\bar{h}_{xn}} \left[\frac{(r_{n+1m}\nu_{n+1m}\omega_{n+1m} - r_{nm}\nu_{nm}\omega_{nm})}{r_{n+1/2m}h_{xn+1/2}} - \right. \\ &\quad \left. - \frac{(r_{nm}\nu_{nm}\omega_{nm} - r_{n-1m}\nu_{n-1m}\omega_{n-1m})}{r_{n-1/2m}h_{xn-1/2}} \right], \\ \Lambda_2\omega_{nm} &= -\frac{1}{H_{nm}^2\bar{h}_{ym}} \left[\frac{(r_{nm+1}\nu_{nm+1}\omega_{nm+1} - r_{nm}\nu_{nm}\omega_{nm})}{r_{nm+1/2}h_{ym+1/2}} - \right. \\ &\quad \left. - \frac{(r_{nm}\nu_{nm}\omega_{nm} - r_{nm-1}\nu_{nm-1}\omega_{nm-1})}{r_{nm-1/2}h_{ym-1/2}} \right].\end{aligned}$$

Аппроксимируем (15) как

$$\begin{aligned}(E + \gamma^2\tau^2\Lambda_1^k\Lambda_2^k)\frac{(\omega_{nm}^{k+1} - \omega_{nm}^k)}{\tau} + \gamma(\Lambda_1^k + \Lambda_2^k)(\omega_{nm}^{k+1} - \omega_{nm}^k) + \\ + (\Lambda_1^k + \Lambda_2^k)\omega_{nm}^k = G_{nm}^k, \quad n = \overline{1, N-1}, \quad m = \overline{1, M-1},\end{aligned}\quad (16)$$

где E — тождественный оператор, $\gamma \in [0, 1]$ — весовой коэффициент. Из уравнения (5) и первых двух условий (7) следует, что на границе тела приближённо выполняется условие Тома

$$\omega_{n0}^{k+1} = \frac{2\Psi_{n1}^{k+1}}{r_{n0}H_{n0}^2h_{y1/2}^2}.$$

Представим ω_{nm}^{k+1} в виде

$$\omega_{nm}^{k+1} = \hat{\omega}_{nm}^{k+1} + P_{nm}^{k+1} \left(\frac{2\Psi_{n1}^{k+1}}{r_{n0}H_{n0}^2h_{y1/2}^2} - \omega_{n0}^k \right),\quad (17)$$

где сеточная функция P_{nm}^{k+1} удовлетворяет задаче

$$(E + \gamma\tau\Lambda_2^k)P_{nm}^{k+1} = 0, \quad P_{n0}^{k+1} = 1, \quad P_{nM}^{k+1} = 0, \quad n = \overline{1, N-1},$$

а функция $\hat{\omega}_{nm}^{k+1}$ — (16) и граничным условиям

$$\hat{\omega}_{n0}^{k+1} = \omega_{n0}^k, \quad \hat{\omega}_{nM}^{k+1} = 0, \quad n = \overline{0, N}, \quad \hat{\omega}_{0m}^{k+1} = \hat{\omega}_{Nm}^{k+1} = 0, \quad m = \overline{0, M}.\quad (18)$$

Уравнение (16) можно записать в факторизованном виде

$$\begin{aligned}(E + \gamma\tau\Lambda_1^k)(E + \gamma\tau\Lambda_2^k)\frac{(\omega_{nm}^{k+1} - \omega_{nm}^k)}{\tau} = G_{nm}^k - \\ - (\Lambda_1^k + \Lambda_2^k)\omega_{nm}^k, \quad n = \overline{1, N-1}, \quad m = \overline{1, M-1}.\end{aligned}$$

Отсюда следует, что функция $\hat{\omega}_{nm}^{k+1}$ может быть вычислена по следующему алгоритму:

1) определяем невязку

$$\eta_{nm}^k = G_{nm}^k - (\Lambda_1^k + \Lambda_2^k)\omega_{nm}^k, \quad n = \overline{1, N-1}, \quad m = \overline{1, M-1};$$

2) для всех $m = \overline{1, M-1}$ решаем системы уравнений относительно $\bar{\zeta}_{nm}^k$:

$$\begin{aligned} \bar{\zeta}_{0m}^k &= 0, \\ (E + \gamma\tau\Lambda_1^k)\bar{\zeta}_{nm}^k &= \eta_{nm}^k, \quad n = \overline{1, N-1}, \\ \bar{\zeta}_{Nm}^k &= 0; \end{aligned}$$

3) при всех $n = \overline{1, N-1}$ решаем системы уравнений относительно поправки ζ_{nm}^k :

$$\begin{aligned} \zeta_{n0}^k &= 0, \\ (E + \gamma\tau\Lambda_2^k)\zeta_{nm}^k &= \bar{\zeta}_{nm}^k, \quad m = \overline{1, M-1}, \\ \zeta_{nM}^k &= 0, \end{aligned}$$

полагаем

$$\zeta_{0m}^k = 0, \quad \zeta_{Nm}^k = 0, \quad m = \overline{0, M};$$

4) для всех $n = \overline{0, N}$, $m = \overline{0, M}$ вычисляем

$$\hat{\omega}_{nm}^{k+1} = \omega_{nm}^k + \tau\zeta_{nm}^k.$$

Подставляя в правую часть уравнения (5) выражение (17) и аппроксимируя левую часть (5) обычным образом, получим уравнение для функции тока (в силу (18) функцию ω_{n0}^k можно заменить на $\hat{\omega}_{n0}^{k+1}$)

$$\begin{aligned} &\frac{1}{\bar{h}_{xn}} \left[\frac{\Psi_{n+1m}^{k+1} - \Psi_{nm}^{k+1}}{r_{n+1/2m}h_{xn+1/2}} - \frac{\Psi_{nm}^{k+1} - \Psi_{n-1m}^{k+1}}{r_{n-1/2m}h_{xn-1/2}} \right] + \\ &+ \frac{1}{\bar{h}_{ym}} \left[\frac{\Psi_{nm+1}^{k+1} - \Psi_{nm}^{k+1}}{r_{nm+1/2}h_{ym+1/2}} - \frac{\Psi_{nm}^{k+1} - \Psi_{nm-1}^{k+1}}{r_{nm-1/2}h_{ym-1/2}} \right] = \\ &= H_{nm}^2 \left[\hat{\omega}_{nm}^{k+1} + P_{nm}^{k+1} \left(\frac{2\Psi_{n1}^{k+1}}{r_{n0}H_{n0}^2h_{y1/2}^2} - \hat{\omega}_{n0}^{k+1} \right) \right], \\ &n = \overline{1, N-1}, \quad m = \overline{1, M-1}, \end{aligned}$$

которое можно записать в виде

$$\begin{aligned} a_{nm}^x \Psi_{n-1m}^{k+1} + b_{nm}^x \Psi_{n+1m}^{k+1} + a_{nm}^y \Psi_{nm-1}^{k+1} + b_{nm}^y \Psi_{nm+1}^{k+1} - c_{nm} \Psi_{nm}^{k+1} + \\ + d_{nm}^{y_{k+1}} \Psi_{n1}^{k+1} = -f_{nm}^{k+1}, \quad n = \overline{1, N-1}, \quad m = \overline{1, M-1}, \end{aligned} \quad (19)$$

где

$$\begin{aligned} a_{nm}^x &= \frac{1}{r_{n-1/2m}h_{xn-1/2}\bar{h}_{xn}}, & b_{nm}^x &= \frac{1}{r_{n+1/2m}h_{xn+1/2}\bar{h}_{xn}}, \\ a_{nm}^y &= \frac{1}{r_{nm-1/2}h_{ym-1/2}\bar{h}_{ym}}, & b_{nm}^y &= \frac{1}{r_{nm+1/2}h_{ym+1/2}\bar{h}_{ym}}, \end{aligned}$$

$$c_{nm} = a_{nm}^x + b_{nm}^x + a_{nm}^y + b_{nm}^y,$$

$$dy_{nm}^{k+1} = -\frac{2H_{nm}^2 P_{nm}^{k+1}}{r_{n0} H_{n0}^2 h_{y1/2}^2}, \quad f_{nm}^{k+1} = -H_{nm}^2 (\hat{\omega}_{nm}^{k+1} - \hat{\omega}_{n0}^{k+1} P_{nm}^{k+1}).$$

К уравнению (19) нужно присоединить граничные условия (7):

$$\Psi_{n0}^{k+1} = 0, \quad \Psi_{nM}^{k+1} = -V^{k+1} r_{nM}^2 / 2, \quad n = \overline{0, N}, \quad \Psi_{0m}^{k+1} = \Psi_{Nm}^{k+1} = 0, \quad m = \overline{0, M}. \quad (20)$$

Система уравнений (19), (20) отличается от системы (33), (34) работы [4] только отсутствием члена $e_{nm}^{yk+1} \Psi_{nM-1}^{k+1}$ в левой части (19) и правыми частями в граничных условиях (20). Поэтому к ней можно полностью применить описанный в [4] способ решения, положив $e_{nm}^{yk+1} = 0$.

Замечание 1. Данный метод решения задачи пригоден только для случая, когда число Рейнольдса не велико. Если нелинейные конвективные члены в уравнении для вихря не являются малыми, так что число Рейнольдса велико, то нужно ввести модифицированную функцию вихря $\Omega = \omega/r$ и решать задачу, как это сделано в работе [4].

5. Тесты

Все тестовые расчёты осуществлялись при числе $Re = 0$.

Для случая, когда форма тела является сферической, были произведены следующие тестовые расчёты:

1) при $\nu = \text{const}$ численное стационарное решение исследовалось на сходимость к точному решению Стокса [5]. Установлен второй порядок сходимости вихря и функции тока к точным аналогам при измельчении расчётной сетки;

2) приближённо вычислялась функция $|D|$ для решения Стокса. Для неё установлен второй порядок сходимости к точному аналогу при измельчении расчётной сетки;

3) вычислялись восемь членов (из которых шесть ненулевых) в выражении для функции G (см. формулу (6)) при $\nu_{nm} = 1 + x_n + y_m$ для решения Стокса. Для каждого из них установлен второй порядок сходимости к точным аналогам при измельчении расчётной сетки;

4) при $\nu_{nm} = 1 + x_n^2 + y_m^2$ исследовалось стационарное решение на сходимость “в себе” [4]. Установлен второй порядок сходимости вихря и функции тока при измельчении расчётной сетки;

5) при функции ν_{nm} , определяемой формулой (3), для $\delta = 0.1$, $\alpha = 1$ исследовалось стационарное решение на сходимость “в себе”. Установлен второй порядок сходимости вихря и функции тока при измельчении расчётной сетки;

6) при $\nu_{nm} = 1 + N_b / (2|D_{nm}| + P_R)$, $N_b = 0.747$, $P_R = 1.038 \cdot 10^{-4}$ рассчитывалось стационарное решение, которое сравнивалось с решением, полученным в [6]. На рис. 1, I приведены линии тока, полученные в настоящей работе, и одноименные линии тока, полученные для тех же данных в работе [6] (отличие знаков этих изолиний вызвано тем, что в [6] жидкость движется относительно капли в положительном, а в настоящей работе в отрицательном направлении относительно оси z — см. формулы (7), (20)). На рис. 1, II представлены изолинии функции $|D|$, полученные в настоящей работе и для тех же данных в работе [6]. Из этих рисунков видно, что результаты сравниваемых расчётов весьма близки, хотя полного совпадения нет, что можно объяснить меньшим числом разбиений в [6] ($N = 16$, $M = 14$) по сравнению с числом разбиений в настоящей работе ($N = 80$, $M = 80$);

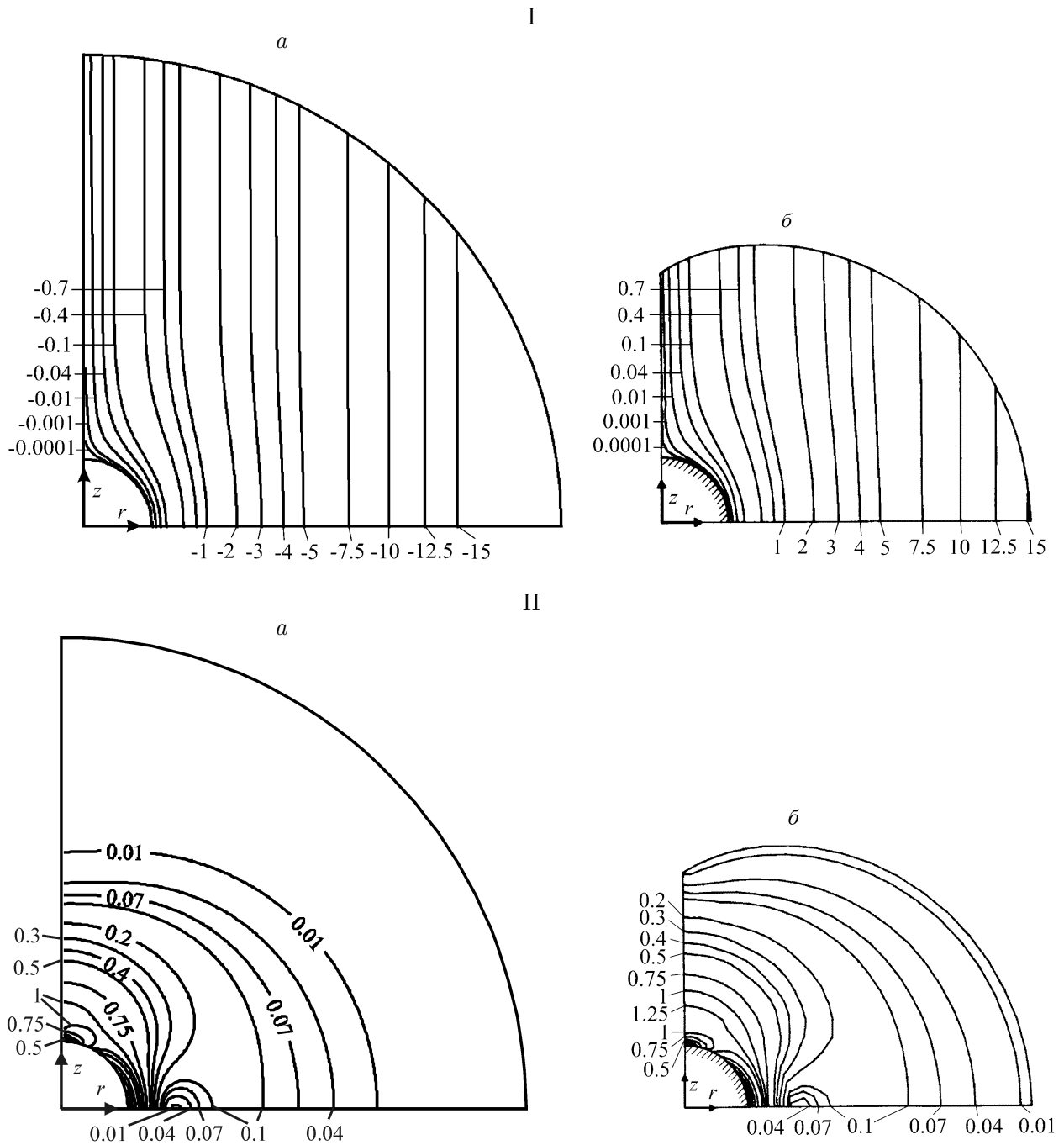


Рис. 1. Расчётные линии тока при обтекании сферы жидкостью Бингама (I) и изолинии функции $|D|$ (II), полученные в настоящей работе (a) и в [6] (б)

7) при $\nu = \text{const}$ вычислялась скорость стационарного обтекания сферы и установлен второй порядок сходимости её величины к значению, описываемому точным решением Стокса.

Для эллиптической формы тела функции $\Psi(x, y, t)$, $\omega(x, y, t)$, $V(t)$ при обтекании эллипсоида жидкостью Бингама исследовались на сходимость “в себе” при $t \rightarrow \infty$ и для них был установлен искомый второй порядок сходимости при измельчении расчётной сетки.

Замечание 2. Для сферической формы тела в пунктах 1–6 скорость тела изменялась по заданному закону и стремилась к постоянному значению при $t \rightarrow \infty$, в то время как в пункте 7 для сферической формы тела и в расчётах для эллиптической формы в каждый момент времени скорость тела определялась по формулам (9)–(13).

6. Пример расчёта

Рассмотрим класс эллипсоидов с большой полуосью длины $r_0(b)$ и двумя малыми полуосями длины $br_0(b)$, где $b < 1$ — положительный числовой параметр. Величину $r_0(b)$ подберём так, чтобы объём каждого эллипсоида из этого класса был равен объёму шара радиуса r_{00} . Тогда

$$r_0(b) = \frac{r_{00}}{b^{2/3}}$$

и формулы (1) в безразмерных переменных примут вид

$$r = b \sin x, \quad z = -\cos x, \quad x \in [0, \pi].$$

Введём эллиптические координаты x, y :

$$r = \rho_2 \sin x \operatorname{sh}(y + y_0), \quad z = -\rho_2 \cos x \operatorname{ch}(y + y_0), \quad x \in [0, \pi], \quad y \in [0, Y], \quad (21)$$

где

$$\rho_2 = \frac{1}{\operatorname{ch} y_0}, \quad b = \sqrt{1 - \rho_2^2} = \operatorname{th} y_0.$$

Внешняя граница области течения будет описываться формулами (21) при $y = Y$, $x \in [0, \pi]$, части оси симметрии — этими же формулами при $x = 0$, $x = \pi$, $y \in [0, Y]$, граница тела — также этими формулами при $y = 0$, $x \in [0, \pi]$. Функции (21) конформно отображают прямоугольник $0 \leq x \leq \pi$, $0 \leq y \leq Y$ на область течения с коэффициентом Ламэ

$$H = \sqrt{(\partial r / \partial x)^2 + (\partial r / \partial y)^2} = \rho_2 \sqrt{\operatorname{ch}^2(y + y_0) - \cos^2 x}.$$

Функция безразмерной вязкости матрицы при обтекании эллипсоида будет иметь вид (3) при

$$|D| = \sqrt{D_{xx}^2 + D_{yy}^2 + D_{\varphi\varphi}^2 + 2D_{xy}^2},$$

где

$$\begin{aligned} D_{xx} &= \frac{1}{H} \left\{ \frac{\partial}{\partial x} \left[\frac{1}{rH} \frac{\partial \Psi}{\partial y} \right] - \frac{1}{rH^2} \frac{\partial \Psi}{\partial x} \frac{\partial H}{\partial y} \right\}, \\ D_{yy} &= \frac{1}{H} \left\{ -\frac{\partial}{\partial y} \left[\frac{1}{rH} \frac{\partial \Psi}{\partial x} \right] + \frac{1}{rH^2} \frac{\partial \Psi}{\partial y} \frac{\partial H}{\partial x} \right\}, \\ D_{\varphi\varphi} &= \frac{1}{r^2 H^2} \left\{ \frac{\partial \Psi}{\partial y} \frac{\partial r}{\partial x} - \frac{\partial \Psi}{\partial x} \frac{\partial r}{\partial y} \right\}, \\ D_{xy} &= \frac{1}{2H} \left\{ \frac{\partial}{\partial y} \left[\frac{1}{rH} \frac{\partial \Psi}{\partial y} \right] - \frac{\partial}{\partial x} \left[\frac{1}{rH} \frac{\partial \Psi}{\partial x} \right] - \right. \\ &\quad \left. - \frac{1}{rH^2} \frac{\partial \Psi}{\partial y} \frac{\partial H}{\partial y} + \frac{1}{rH^2} \frac{\partial \Psi}{\partial x} \frac{\partial H}{\partial x} \right\}, \quad x \in (0, \pi), \quad y \in (0, Y), \end{aligned}$$

$$\begin{aligned}
D_{xx} &= \frac{1}{2\partial r/\partial x} \frac{\partial}{\partial y} \left\{ \frac{1}{H^2} \frac{\partial^2 \Psi}{\partial x^2} \right\}, \\
D_{yy} &= -\frac{1}{H} \frac{\partial}{\partial y} \left\{ \frac{1}{(\partial r/\partial x)H} \frac{\partial^2 \Psi}{\partial x^2} \right\}, \\
D_{\varphi\varphi} &= \frac{\partial r/\partial x}{2H^2} \frac{\partial}{\partial y} \left\{ \frac{1}{(\partial r/\partial x)^2} \frac{\partial^2 \Psi}{\partial x^2} \right\}, \\
D_{xy} &= 0, \quad x = 0, \quad x = \pi, \quad y \in (0, Y), \\
D_{xx} = 0, \quad D_{yy} = 0, \quad D_{\varphi\varphi} = 0, \quad D_{xy} = \omega/2, \quad y = 0, \quad x \in [0, \pi], \\
D_{xx} = 0, \quad D_{yy} = 0, \quad D_{\varphi\varphi} = 0, \quad D_{xy} = 0, \quad y = Y, \quad x \in [0, \pi].
\end{aligned}$$

(Эти равенства верны не только для эллиптической, но и для любой достаточно гладкой формы тела.)

В таком случае формулы (11) примут вид

$$G_{z1} = -\frac{2b^{2/3}}{\pi} \int_0^\pi P_{yy} \sin x \cos x dx, \quad G_{z2} = \frac{2b^{-1/3}}{\pi} \int_0^\pi P_{xy} \sin^2 x dx. \quad (22)$$

Условием начала движения эллипсоида будет

$$\text{krit} = \frac{A_1}{A_2 b^{1/3}} < 1. \quad (23)$$

Данный критерий выполняется для нерегуляризованной модели жидкости Бингама, когда

$$\nu = \alpha + \frac{1}{\sqrt{2}|D|}.$$

Действительно, учитывая, что на поверхности эллипсоида выполняются условия (9), (10), а завихренность ω в начальный отрезок времени мала, получим

$$P_{yy} = 0, \quad P_{xy} = -1,$$

поскольку $\omega < 0$. Подставляя эти значения в (22), имеем $G_{z1} = 0$, $G_{z2} = -b^{-1/3}$. Требуя, чтобы в (13) доминировал последний член, получим (23).

При расчётах использовались следующие исходные данные:

$$\nu_0 = 1.175 \cdot 10^{-3} \text{ м}^2/\text{с}, \quad \rho_0 = 1260 \text{ кг}/\text{м}^3$$

(оба параметра соответствуют глицерину при 293 К [7]),

$$\rho_1 = 7870 \text{ кг}/\text{м}^3$$

(железо [7]),

$$r_{00} = 0.01 \text{ м}, \quad k_0 = 48.03 \text{ Па}, \quad V_0 = 0.9733 \text{ м}/\text{с}, \quad t_0 = 0.2553 \text{ с}, \quad \nu_1 = 3.917 \cdot 10^{-4} \text{ м}^2/\text{с},$$

$$Y = 2.5, \quad \alpha = 3, \quad \text{Re} = 24.85, \quad A_1 = 0.3772, \quad A_2 = 2.161, \quad B = 24.85,$$

$$\delta = 0.0025, \quad \gamma = 0.999, \quad N = 32, \quad M = 32, \quad \varepsilon = 10^{-14}$$

(последний параметр означает точность решения задачи для функции тока [4]).

Ниже приведены переменные, зависящие от b (здесь K — число итераций по времени):

b	1	0.8	0.5	0.3
$r_0(b), \text{м}$	0.01	$1.1604 \cdot 10^{-2}$	$1.5874 \cdot 10^{-2}$	$2.2314 \cdot 10^{-2}$
krit	0.1745	0.1880	0.2199	0.2607
τ	10^{-4}	10^{-4}	$2 \cdot 10^{-5}$	$5 \cdot 10^{-6}$
K	4000	4000	20 000	80 000

Из представленных данных следует, что значения параметра krit меньше единицы для всех вариантов расчёта. Следовательно, эллипсоид с любым из рассмотренных значений b будет двигаться под действием силы тяжести.

Число итераций при решении задачи для функции тока находилось в пределах от 1 до 150. Характерное значение максимума $|D|$ составляло 0.25, что в сто раз больше величины δ .

На рис. 2, *a* показана расчётная сетка для $b = 0.3$ (соответствующая сетка в переменных x, y является равномерной), на рис. 2, *б* представлены форма расчётной области (сплошная линия), и граница жидкой зоны (пунктир). На рис. 3 приведены зависимости скорости тела и расстояния, пройденного телом, от времени. Из рис. 3, *a* следует, что скорость стационарного обтекания эллипсоида зависит

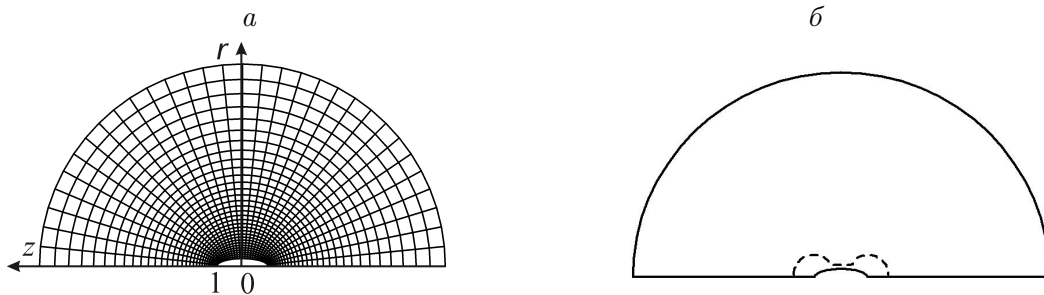


Рис. 2. Расчётная сетка при $b = 0.3$ (*a*) и форма расчётной области (сплошная линия) и граница жидкой зоны в момент времени $t = 0.4$ (пунктир) при $b = 0.3$ (*б*)

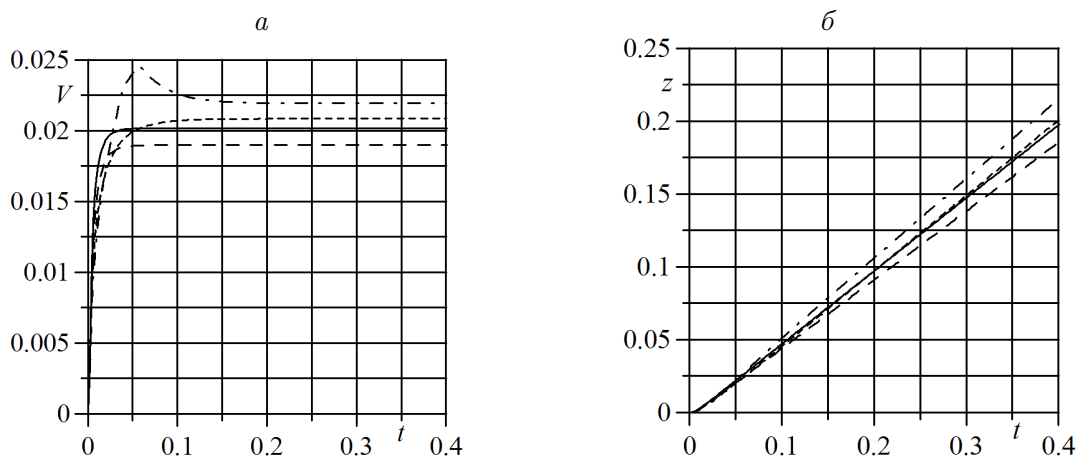


Рис. 3. Зависимость скорости тела (*a*) и расстояния, пройденного телом, (*б*) от времени. Сплошная линия — $b = 1$, крупный пунктир — $b = 0.8$, мелкий пунктир — $b = 0.5$, штрихпунктир — $b = 0.3$

от b немонотонным образом: сначала с уменьшением b она снижается, а потом увеличивается. Кроме того, для $b = 1, 0.8$ и 0.5 скорость тела в зависимости от времени является монотонно возрастающей функцией, в то время как для $b = 0.3$ она сначала возрастает, а потом монотонно убывает, стремясь к постоянному значению. Из рис. 3 также видно, что максимум скорости тела для всех вариантов близок к значению 0.02 , т. е. примерно в 50 раз меньше скорости стационарного обтекания сферы ньютоновской жидкостью с вязкостью ν_0 . Поэтому реальное число Рейнольдса $Re' = 0.02 Re \approx 0.5$. Установлен также следующий факт: для ньютоновской жидкости зависимость скорости стационарного обтекания эллипсоида от параметра b является монотонной (скорость снижается с уменьшением b). В общем случае здесь противопоставлены два фактора: с уменьшением b возрастает площадь поверхности эллипсоида. Это должно вести к снижению скорости обтекания, что и имеет место для случая ньютоновской жидкости, а также при достаточно больших b в случае жидкости Бингама. Вместе с тем при уменьшении b форма эллипсоида становится более обтекаемой, что может вызвать увеличение скорости обтекания, — последнее и наблюдается для жидкости Бингама при достаточно малом b .

Из рис. 3 также следует, что выход на стационарный режим обтекания происходит тем быстрее, чем больше b . Время выхода для всех рассмотренных вариантов оценивается сверху величиной 0.2 безразмерных единиц времени, что соответствует примерно 0.05 с.

Заключение

Предложен метод расчёта нестационарного движения твёрдого тела в жидкости Бингама под действием силы тяжести. Рассмотрен случай, когда нелинейные конвективные члены в уравнении импульса малы и их можно брать с нижнего итерационного слоя. Это корректно, если число Рейнольдса задачи имеет порядок единицы. Разработанная программа проверена на сходимость искомых функций при измельчении расчётной сетки и на близость результатов расчёта к аналогичным результатам других авторов. Приведены четыре примера расчёта для случая, когда тело является одним из осесимметричных эллипсоидов, имеющих одинаковый объём, но с различным отношением полуосей. Показано, что, во-первых, зависимость скорости стационарного обтекания от отношения полуосей эллипсоида носит немонотонный характер, во-вторых, — при достаточно вытянутой форме эллипсоида его скорость в зависимости от времени сначала увеличивается, а потом уменьшается, стремясь к постоянному пределу.

Автор выражает благодарность В.В. Пухначёву и В.В. Шелухину за полезные обсуждения представленной задачи.

Список литературы

- [1] ВЕРЕТЕНЦЕВ В.А. Построение разностной сетки в области с криволинейными границами с помощью конформного отображения // Актуальные вопросы прикладной математики. М.: Изд-во Моск. гос. ун-та, 1989. С. 88–93.
- [2] ПИВОВАРОВ Ю.В. О построении ортогональной разностной сетки в криволинейном четырёхугольнике // Вычисл. технологии. 2003. Т. 8, № 5. С. 94–101.

- [3] MALEK J., RUZICKA M., SHELUKHIN V.V. Herschel — Bulkley fluids: Existence and regularity of steady flows // Math. Models and Methods in Appl. Sci. 2005. Vol. 15, No. 12. P. 1845–1861.
- [4] ПИВОВАРОВ Ю.В. Расчёт движения жидкости с переменной вязкостью в области с криволинейной границей // Вычисл. технологии. 2005. Т. 10, № 3. С. 87–107.
- [5] КОЧИН Н.Е., КИВЕЛЬ И.А., РОЗЕ Н.В. Теоретическая гидромеханика. Часть II. М.: Гос. изд-во физ.-мат. лит-ры, 1963. 727 с.
- [6] BERIS A.N., TSAMOPOULOS J.A., ARMSTRONG R.C., BROWN R.A. Creeping motion of a sphere through a Bingham plastic // J. of Fluid Mechanics. 1985. Vol. 158, September. P. 219–244.
- [7] ТАБЛИЦЫ физических величин / Под ред. И.К. Кикоина. М.: Атомиздат, 1976. 1008 с.

*Поступила в редакцию 22 марта 2012 г.,
с доработки — 20 июня 2012 г.*